УДК 004.92, 004.925.5,548.732

DOI 10.63874/2218-0303-2025-1-48-55

Ирина Николаевна Балухо $^{I}$ , Юрий Иванович Дудчик $^{2}$ , Николай Николаевич Кольчевский $^{3}$  аспирант  $^{I}$ -го года обучения каф. физической электроники и нанотехнологий

Белорусского государственного университета
<sup>2</sup>канд. физ.-мат. наук, зам. директора по научной работе
Института прикладных физических проблем имени А. Н. Севченко
Белорусского государственного университета

<sup>3</sup>канд. физ.-мат. наук, доц., доц. каф. физической электроники и нанотехнологий Белорусского государственного университета

Iren Balukho<sup>1</sup>, Yuri Dudchik<sup>2</sup>, Nickolai Kolchevsky<sup>3</sup>

<sup>1</sup>1-st Year Postgraduate Student of the Department of Physical Electronics and Nanotechnology of Belarusian State University

<sup>2</sup>Candidate of Physical and Mathematical Sciences, Deputy Director for Scientific Work of the A. N. Sevchenko Institute of Applied Physical Problems of Belarusian State University <sup>3</sup>Candidate of Physical and Mathematical Sciences, Associate Professor, Associate Professor of the Physical Electronics and Nanotechnologies Department of Belarusian State University

e-mail: <sup>1</sup>iren.balukho@gmail.com; <sup>2</sup>dudchik@bsu.by; <sup>3</sup>kolchevsky@bsu.by

# ШИРОКОПОЛОСНЫЙ ИСТОЧНИК РЕНТГЕНОВСКОГО ИЗЛУЧЕНИЯ\*

Проведен расчет спектра излучения широкополосного рентгеновского источника. Широкополосный рентгеновский источник состоит из нескольких источников рентгеновского излучения (рентгеновских трубок), которые одновременно или последовательно облучают заданный объект. Формирование спектра широкополосного источника заключается в выборе параметров отдельных источников излучения (материал анода, ток и рабочее напряжение трубки) таким образом, чтобы в результате суммирования был получен спектр, близкий к равномерному в заданном диапазоне длин волн. Получены основные соотношения и разработана программа «X-ray-multi-tube», позволяющие рассчитать тормозной спектр широкополосного рентгеновского источника, состоящего из N источников тормозного рентгеновского излучения в заданном диапазоне длин волн с учетом допуска на изменении интенсивности в спектре.

**Ключевые слова:** рентгеновское излучение, рентгеновская трубка, спектр тормозного рентгеновского излучения.

#### Broadband X-ray Source

Calculated the radiation spectrum of a broadband X-ray source. A broadband X-ray source consists of several X-ray sources (X-ray tubes) that simultaneously or sequentially irradiate a given object. Formation of the spectrum of a broadband source consists in choosing the parameters of individual radiation sources (anode material, current and operating voltage of the tube) in such a way that the summation results in a spectrum close to a regular spectrum in a given wavelength range. The basic relations are obtained and the program «X-ray-multi-tube» is developed, which allow to calculate the bremsstrahlung spectrum of a broadband source consisting of N X-ray sources in a specified wavelength range taking into account the intensity variation allowed in the spectrum.

**Key words:** X-ray radiation, X-ray tubes, bremsstrahlung X-ray spectrum.

#### Введение

В 2025 г. отмечается 130-летие с момента открытия рентгеновского излучения немецким физиком, первым Нобелевским лауреатом по физике профессором Вильгельмом Конрадом Рентгеном. Прогресс в области рентгеновских методов исследования неразрывно связан с развитием источников рентгеновского излучения [1–4].

<sup>\*</sup>Работа частично поддержана Министерством образования Республики Беларусь в рамках задания 3.12 ГПНИ «Механика, металлургия, диагностика в машиностроении», подпрограмма «Техническая диагностика».

 $\Phi I3IKA$  49

Передовыми источниками рентгеновского излучения на сегодняшний день явля-(Курчатовский синхротроны источник синхротронного излучения ются: «КИСИ-Курчатов» (Россия) [5]), синхротроны 3-го поколения (The European Synchrotron Radiation Facility «ESRF» (Франция) [7], Super Photon ring – 8 GeV «Spring-8» (Япония) [8], Source Optimisée de Lumière d'Énergie Intermédiaire du LURE «SOLEIL» (Франция) [9]), лазеры на свободных электронах (European x-ray free electron laser «E-XFEL» (Германия) [10]) и строящиеся источники синхротронного излучения 3-го поколения (Русский Источник Фотонов «РИФ» (Россия) [6]) и 4-го поколения (Сибирский кольцевой источник фотонов «СКИФ» (Россия) [11], ESRF-EBS (Extremely Brilliant Source) (Франция) [12]). В составе строящегося Сибирского кольцевого источника фотонов «СКИФ» (Россия) будет создана белорусская исследовательская станция. Применение синхротронных источников является уникальным ввиду малого числа синхротронов и высокой стоимости их использования.

Самыми распространенными лабораторными источниками для методов неразрушающего контроля, медицины, рентгеновских исследований, являются рентгеновские трубки. Наибольшее количество компаний, выпускающих рентгеновские трубки для медицинского, промышленного и научного применения находится в США, например, General Electric-GE, Varex Imaging, DEL MEDICAL, North American imaging (NAI). Современными производителями рентгеновских трубок являются: Siemens (Германия), выпускающая мощные, более 100 КВт, трубки с вращающимся анодом, IAE (Industria Applicazioni Elettronoche) (Италия), выпускающая трубки с вращающимся анодом с 1965 г., Excillum (Швеция), выпускающая мощные микрофокусные рентгеновские трубки MetalJet на основе жидкого анода и нанофокусные рентгеновские трубки с прострельным анодом на основе вольфрама и алмаза, обеспечивающие разрешение до 150нм, Comet AG (Швейцария), выпускающая мощную рентгеновскую трубку на 600 КВ, Canon electron tubes & devices CO. – Toshiba (Япония), выпускающая рентгеновские трубки с 1915 года, Hamamatsu Photonics (Япония), выпускающая микрофокусные рентгеновские трубки с диаметром фокусного пятна 2-80 мкм, Oxford instruments x-ray technology (Великобритания) – в настоящее время продажи, обслуживание и поддержка приостановлены на территории Российской Федерации и Беларуси. Наиболее доступными оказываются производители Китая, например, KeyWay Electron Company Ltd (Китай); России: ЗАО ЭЛТЕХ-Мед (Россия), выпускающее рентгеновские трубки диаметром фокусного микрофокусные пятна менее АО Светлана-рентген (Россия), работающее с 1949 г. и выпускающее трубки для промышленного структурного и спектрального анализа, медицинского назначения с массивным и прострельным анодом, ООО Радиум (Россия), изготавливающее аналоги зарубежных рентгеновских излучателей [13]. В Республике Беларусь в индустриальном парке «Великий камень» зарегистрирована компания ООО «СиноБелМедика», которая планирует создать производство рентгеновских трубок.

Современное направление развития рентгеновских источников — разработка источников, отличающихся возможностью управлять характеристиками излучения используя, например, источники с несколькими анодами или катодами [14–17]. Источник с несколькими анодами будет характеризоваться уникальными спектральными характеристиками. В работе предложен новый тип рентгеновского источника, представляющего собой широкополосный рентгеновский источник со сложным анодом, который может быть реализован как многоэлементный источник, состоящий из нескольких анодов, одновременно или последовательно облучающих объект в эксперименте. Идея широкополосного рентгеновского источника заключается в формировании спектра, близкого к равномерному в заданном диапазоне длин волн. Создание таких широкополосных источников представляет собой задачу, вследствие решения которой могут

быть созданы конструктивно и принципиально новые источники для различного применения, например, для рентгеновской микроскопии, рентгенофлуоресцентных методов, цветовой рентгенографии.

## Расчет спектра широкополосного рентгеновского источника

Рассмотрим задачу формирования широкополосного рентгеновского источника, представляющего собой источник со сложным анодом, состоящий из нескольких рентгеновских трубок, одновременно или последовательно облучающих объект в эксперименте [18]. Широкополосный рентгеновский источник должен характеризоваться равномерным спектром тормозного излучения в заданном диапазоне длин волн. Равномерный спектр может быть образован несколькими отдельными источниками тормозного рентгеновского излучения. Спектральная интенсивность (спектральная плотность потока энергий) широкополосного источника  $I_{\lambda}(\lambda)$  в зависимости от длины волны будет представлять сумму n спектров тормозного излучения рентгеновских трубок  $I_{\lambda i}(\lambda)$  без учета характеристического излучения. Для идеализированной рентгеновской трубки без учета эффектов самопоглощения тормозной спектр широкополосного рентгеновского источника может быть описан формулой [19]:

$$I_{\lambda}(\lambda) = \sum_{i=1}^{n} I_{\lambda i}(\lambda) = a \sum_{i=1}^{n} I_{i} Z_{i} \frac{\lambda - \lambda_{0i}}{\lambda_{0i} \cdot \lambda^{3}}, \tag{1}$$

где a — коэффициент пропорциональности,  $I_i$  — ток электронов на аноде отдельного источника,  $Z_i$  — атомный номер материала анода отдельного источника,  $\lambda_{0i}$  — минимальная или граничная длина волны отдельного источника, зависящая от ускоряющего напряжения на i-ой рентгеновской трубке  $U_i$ .

Формула (1) с математической точки зрения представляет собой сумму нелинейных функций, различающихся диапазонами длин волн  $[\lambda_{0i};\infty)$ , что будет приводить к нелинейной зависимости  $I_{\lambda}(\lambda)$ , состоящей из максимумов и минимумов. Отношение минимальной  $I_{min}$  интенсивности к максимальной  $I_{max}$ , в заданном диапазоне спектра, определяет значение допуска на изменении интенсивности в спектре  $\beta = I_{min} / I_{max}$ , лежащего в диапазоне (0;1). В соответствии со значением  $\beta$  определяется количество источников в заданном диапазоне спектра. Значение  $\beta = I$  соответствует идеальному случаю равномерной интенсивности широкополосного источника и бесконечному количеству источников. Отдельный источник с учетом допуска  $\beta$  на изменение интенсивности в спектре широкополосного источника характеризуется диапазоном длин волн от  $\lambda_{min}$  до  $\lambda_{max}$ , в которой интенсивность изменяется от  $\beta I_{max}$  до  $I_{max}$ , как показано на рисунке 1.

Тормозной спектр в области малых длин волн ( $\lambda < \lambda_{min}$ ), представляет собой резко убывающую обратную кубическую функцию. Кривая на правой части рисунка 1 ( $\lambda > \lambda_{max}$ ) представляет убывающую обратную квадратичную функцию. В первом приближении можно считать, что спектр широкополосного источника является объединением спектров отдельных источников [ $\lambda_{min1}$ ;  $\lambda_{max1}$ ] $\cup$ [ $\lambda_{min2}$ ;  $\lambda_{max2}$ ] $\cup ... \cup$ [ $\lambda_{minN}$ ;  $\lambda_{maxN}$ ].

Для определения ширины спектра отдельного источника необходимо задать допуск на изменение интенсивности  $\beta$  (закрашенная область, рисунок 1). Максимальная интенсивность тормозного спектра достигается при длине волны равной  $3/2 \lambda_0$ . Чтобы найти границы спектра  $\lambda_{min}$  и  $\lambda_{max}$ , формулу (1) необходимо приравнять к  $\beta I_{max}$ :

$$aIZ\frac{\lambda - \lambda_0}{\lambda_0 \cdot \lambda^3} = \beta \cdot I_{\lambda} \left(\frac{3}{2}\lambda_0\right). \tag{2}$$

 $\Phi I3IKA$  51

В результате алгебраических преобразований из уравнения (2) получим кубическое уравнение относительно переменной  $y = \lambda/\lambda_0$  и величины допуска на изменение интенсивности  $\beta$ :

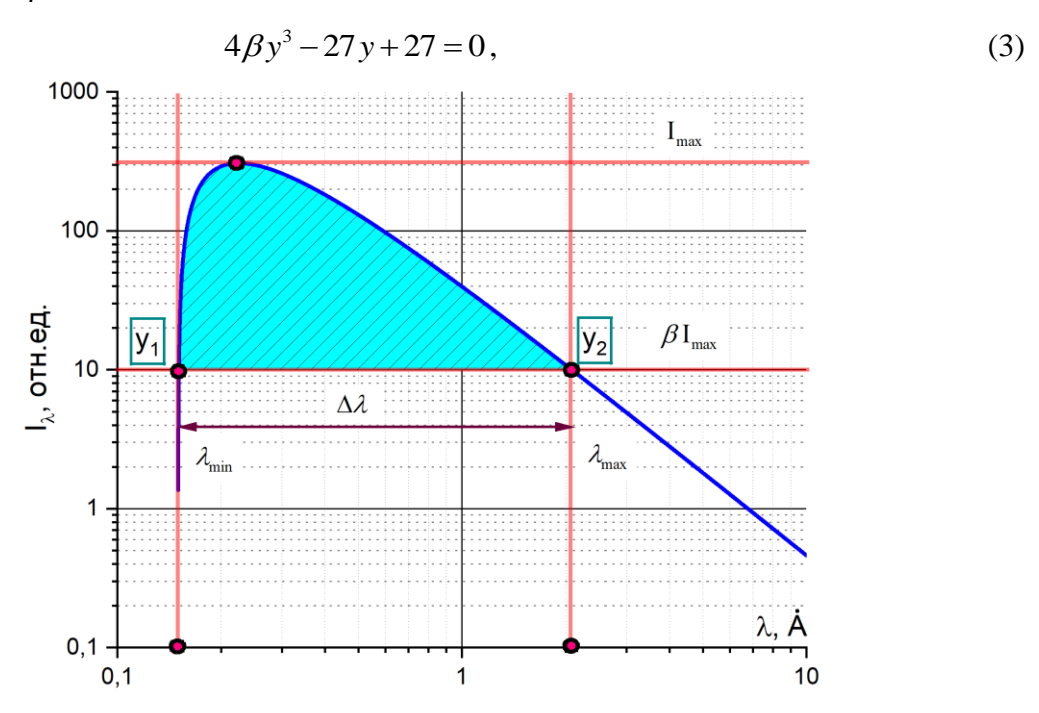


Рисунок 1 – Тормозной спектр рентгеновской трубки с медным анодом

Уравнение (3) имеет 3 действительных корня, один из которых отрицательный и не имеет физического смысла. Два положительных корня  $y_1$  и  $y_2$  соответствуют условию  $y_2 > y_1$ . Как показано на рисунке 1,  $y_1$  определяет  $\lambda_{min}$  или левую границу спектра,  $y_2$  определяет  $\lambda_{max}$  или правую границу спектра. Разность между  $\lambda_{min}$  и  $\lambda_{max}$  определяет ширину спектра отдельного источника  $\Delta\lambda$  при заданном значении допуска на изменение интенсивности  $\beta$  и минимальной длине волны рентгеновского излучения  $\lambda_{min}$ . Множество решений уравнения (3) показаны на рисунке 2.

Полученные соотношения позволяют рассчитать широкополосный источник, состоящий из N отдельных источников, с заданным значением допуска на изменение интенсивности  $\beta$  в заданном диапазоне длин волн  $\lambda_{min\Sigma}$  и  $\lambda_{max\Sigma}$ . Расчет спектра ведется от минимальной длины волны к максимальной. Алгоритм расчета содержит несколько итерационных этапов: на первом этапе определяется минимальная длина волны первого источника из соотношения  $\lambda_{min1} = \lambda_{01} \cdot y_I$ ; на втором этапе определяется максимальное значение интенсивности первого источника из соотношения  $I_{max} = I(3/2 \lambda_{01})$ ; на третьем этапе определяются максимальная длина волны первого источника из соотношения  $\lambda_{max1} = \lambda_{01} \cdot y_2$ . Данные этапы позволяют определить ширину спектра первого источника и максимальное значение интенсивности. Затем на следующей итерации минимальная длина волны второго источника рассчитывается с поправкой  $\xi$  на предыдущие итерации:  $\lambda_{min2} = \lambda_{max1} + \xi$ , — и процесс расчета по этапам 1—3 повторяется. Расчет ведется до достижения необходимой энергии  $\lambda_{max\Sigma}$ . Количество источников определяется диапазоном заданных длин волн  $\lambda_{min\Sigma}$  и  $\lambda_{max\Sigma}$  и допуском  $\beta$ , и может быть приближенно определено через корни уравнения (3)  $y_I(\beta)$  и  $y_2(\beta)$ :

$$N = \frac{\Delta \ln \lambda}{\Delta \ln y(\beta)} \,. \tag{4}$$

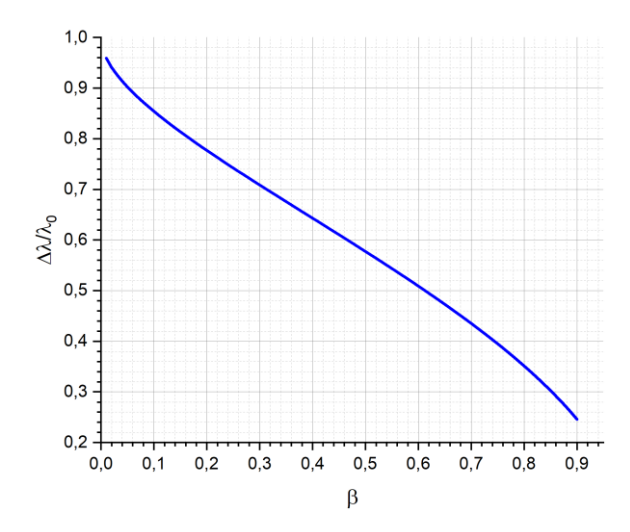


Рисунок 2 – График зависимости относительной ширины спектра от допустимого отклонения

Разработанная программа «X-ray-multi-tube» реализует вышеописанный алгоритм расчета спектра широкополосного источника [20–22]. Пример расчета спектра широкополосного источника показан на рисунке 3. Широкополосный источник состоит из трех источников ( $\lambda_{01}$ =0,14 Å,  $\lambda_{02}$ =0,22 Å,  $\lambda_{03}$ =0,25 Å). Каждый из источников представляет рентгеновскую трубку с медным анодом, работающих при различных напряжениях и токах  $U_I$ =90 кВ,  $I_I$ =2,9 мА,  $U_Z$ =57 кВ,  $I_Z$ =1,1 мА,  $U_Z$ =50 кВ,  $I_Z$ =2,2 мА. Ширина спектра широкополосного источника равна  $\Delta\lambda$ =0,1 Å при допуске  $\beta$ =0,98.

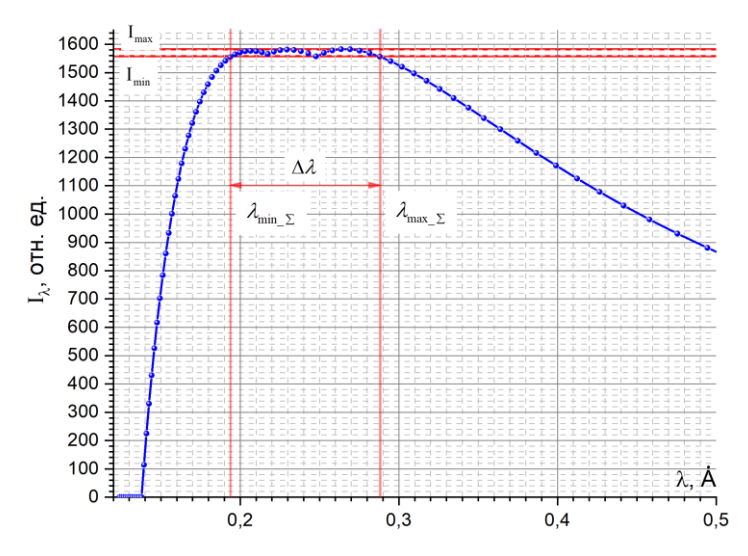


Рисунок 3 – Тормозной спектр широкополосного рентгеновского источника

#### Заключение

Широкополосный рентгеновский источник состоит из нескольких источников рентгеновского излучения (рентгеновских трубок), которые одновременно или последовательно облучают заданный объект. Формирование спектра широкополосного источника заключается в выборе параметров отдельных источников излучения (материал анода, ток и рабочее напряжение трубки) таким образом, чтобы в результате суммирования был получен спектр, близкий к равномерному в заданном диапазоне длин волн. Получены основные соотношения для расчета спектра широкополосного источника, состоящего

 $\Phi$ I3IKA 53

из N отдельных источников. Метод расчета положен в основу разработанной программы «X-ray-multi-tube».

# СПИСОК ИСПОЛЬЗОВАННЫХ ИСТОЧНИКОВ

- 1. Attwood, D. Soft X-rays and extreme ultraviolet radiation: Principles and Applications / D. Attwood. Cambridge: Cambridge University Press, 1999. 470 p.
- 2. Мишетт, А. Оптика рентгеновского излучения / А. Мишетт. М. : Мир, 1989. 352 с.
- 3. Kumakhov, M. A. History of the evolution of the x-ray and neutron capillary optics / M. A. Kumakhov // Optics of Beams. -1993. Vol. 1. P. 3-17.
- 4. Carolyn, A. MacDonald. An Introduction to X-ray Physics, Optics, and Applications / MacDonald Carolyn A. United States: Princeton University Press, 2017. 368 p.
- 5. Курчатовский специализированный источник синхротронного излучения «КИСИ-Курчатов» // НИЦ «Курчатовский институт». URL: http://kcsni.nrcki.ru/pages/main/sync/index.shtml (дата обращения: 26.01.2025).
- 6. Синхротрон Русский Источник Фотонов («РИФ») // НИЦ «Курчатовский институт». URL: http://kcsni.nrcki.ru/pages/main/rsf/index.shtml (дата обращения: 26.01.2025).
- 7. ESRF // European Synchrotron Radiation Facility. Франция, 1990–2025. URL: https://esrf.fr/home.html (дата обращения: 28.01.2025).
- 8. SPring-8 // Riken SPring-8 Center. Япония, 1997–2025. URL: http://www.spring8.or.jp/en/ (дата обращения: 28.01.2025).
- 9. SOLEIL // Synchrotron SOLEIL. Франция, 2006–2025. URL: https://www.synchrotron-soleil.fr/en (дата обращения: 28.01.2025).
- 10. E-XFEL // European XFEL. Германия, 2017–2025. URL: https://www.xfel.eu (дата обращения: 30.01.2025).
- 11. Сибирский кольцевой источник фотонов «СКИФ» // ЦКП «СКИФ». URL: https://srf-skif.ru/index.php/ЦКП\_«СКИФ»\_(поколение\_4%2B,\_энергия\_3\_ГэВ) (дата обращения: 30.01.2025).
- 12. ESRF-EBS // European Synchrotron Radiation Facility. URL: https://esrf.fr/-cms/live/live/en/sites/www/home/about/upgrade.html (дата обращения: 30.01.2025).
- 13. Маломощные рентгеновские трубки (современное состояние) / А. С. Бугаев, П. А. Ерошкин, В. А. Романько, Е. П. Шешин // УФН. 2013. Т. 183, № 7. С. 727–740. DOI: 10.3367/UFNr.0183.201307c.0727.
- 14. Patent US 2024/0062985 A1, H01J 35/147 (2019.05). X-ray tube with flexible intensity adjustment:  $N_2$  20240062985A1: filling date 10.08.2023: publ. date 22.02.2024 / Paul Radcliffe, Christian Hoffmann, Kaan Atak, Carsten Michaelsen; applicant incoatec GmbH. 18 p.
- 15. Patent US 11,116,462B2, A61B 6/03(2006.01), A61B 6/00(2006.01). X-ray system and method for generating x-ray image in color: № 11116462B2: filling date 28.08.2018: publ. date 14.09.2021 / Nabil Mohammed Maalej, Fahad Ahmad Abozaid; applicant KING FAHD University of petroleum and minerals. 24 p.
- 16. Патент RU 2645749C2, МПК H01J 35/00 (2006.01). Микрофокусная рентгеновская трубка: № 2645749C2: заявлено 23.05.2016: опубл. 28.02.2018 / Трубицын А. А., Грачев Е. Ю.; заявитель Федер. гос. бюджет. образоват. учреждение высш. образования «Рязанский государственный радиотехнический университет». 11 с.

- 17. Патент RU 2578675С1, МПК H01J 35/02 (2006.01). Многолучевая рентгеновская трубка : № 2578675С1 : заявлено 28.06.2013 : опубл. 27.03.2016 / Масленников О. Ю., Гузилов И. А. ; заявитель Демидова Е. В. -25 с.
- 18. Balukho, I. N. Broadband X-ray source / I. N. Balukho; scientific supervisor N. N. Kolchevsky // I Междунар. молодеж. науч.-культур. форум студентов, магистрантов, аспирантов и молодых ученых: сб. материалов / М-во образования Респ. Беларусь; Гомел. гос. техн. ун-т им. П. О. Сухого; Таизский ун-т; Науч. организация исследований и инноваций; под общ. ред. А. А. Бойко. Гомель: ГГТУ им. П. О. Сухого, 2024. С. 36.
- 19. Иванов, С. А. Рентгеновские трубки технического назначения / С. А. Иванов, Г. А. Щукин. Л. : Энергоатомиздат, 1989. 200 с.
- 20. Кольчевская, И. Н. Моделирование рентгенооптических систем / И. Н. Кольчевская, П. В. Петров, Н. Н. Кольчевский // Компьютерные технологии и анализ данных (CTDA'2022): материалы III Междунар. науч.-практ. конф., Минск, 21–22 апр. 2022 г. / Белорус. гос. ун-т; редкол.: В. В. Скакун (отв. ред.) [и др.]. –: РИВШ, 2022. С. 217–219.
- 21. Кольчевская, И. Н. Метод цветовой визуализации рентгеновских спектров / И. Н. Кольчевская, Н. Н. Кольчевский // Прикладные проблемы оптики, информатики, радиофизики и физики конденсированного состояния : материалы VII Междунар. науч.-практ. конф., посвящ. 120-летию со дня рождения акад. Антона Никифоровича Севченко, Минск, 18–19 мая 2023 г. / НИУ «Ин-т приклад. физ. проблем им. А. Н. Севченко» БГУ ; редкол.: Ю. И. Дудчик (гл. ред.), И. М. Цикман, И. Н. Кольчевская. 2-я ред., доп. Минск, 2023. С. 35–36.
- 22. Balukho, I. N. Colour visualization method of x-ray spectra / I. N. Balukho, Yu. I. Dudchik, N. N. Kolchevsky // Приборостроение-2023 : материалы 16-й Междунар. науч.-техн. конф., Минск, 16–17 нояб. 2023 г. / редкол.: О. К. Гусев (пред.) [и др.]. Минск : БНТУ, 2023. С. 187–189.

### **REFERENCES**

- 1. Attwood, D. Soft X-rays and extreme ultraviolet radiation: Principles and Applications / D. Attwood. Cambridge: Cambridge University Press, 1999. 470 p.
  - 2. Mishett, A. Optika rientgienovskogo izluchienija / A. Mishett. M.: Mir, 1989. 352 s.
- 3. Kumakhov, M. A. History of the evolution of the x-ray and neutron capillary optics / M. A. Kumakhov // Optics of Beams. 1993. Vol. 1. P. 3–17.
- 4. Carolyn, A. MacDonald. An Introduction to X-ray Physics, Optics, and Applications / MacDonald Carolyn A. United States: Princeton University Press, 2017. 368 p.
- 5. Kurchatovskij spiecializirovannyj istochnik sinkhrotronnogo izluchienija «KISI-Kurchatov» // NIC «Kurchatovskij institut». URL: http://kcsni.nrcki.ru/pages/main/sync/-index.shtml (data obrashchienija: 26.01.2025).
- 6. Sinkhrotron Russkij Istochnik Fotonov («RIF») // NIC «Kurchatovskij institut». URL: http://kcsni.nrcki.ru/pages/main/rsf/index.shtml (data obrashchienija: 26.01.2025).
- 7. ESRF // European Synchrotron Radiation Facility. Francija, 1990–2025. URL: https://esrf.fr/home.html (data obraujenuja: 28.01.2025).
- 8. SPring-8 // Riken SPring-8 Center. Japonija, 1997–2025. URL: http://www.spring8.or.jp/en/ (data obrashchienija: 28.01.2025).
- 9. SOLEIL // Synchrotron SOLEIL. Francija, 2006–2025. URL: https://www.synchrotron-soleil.fr/en (data obrashchienija: 28.01.2025).
- 10. E-XFEL // European XFEL. Giermanija, 2017–2025. URL: https://www.xfel.eu (data obrashchienija: 30.01.2025).

 $\Phi I3IKA$  55

11. Sibirskij kol'cievoj istochnik fotonov «SKIF» // СКР «SKIF». – URL: https://srf-skif.ru/index.php/СКР\_«SKИF»\_(pokolienuje\_4%2B,\_enierhuja\_3\_HeV) (data obrashchienija: 30.01.2025).

- 12. ESRF-EBS // European Synchrotron Radiation Facility. URL: https://esrf.fr/-cms/live/live/en/sites/www/home/about/upgrade.html (data obrashchienija: 30.01.2025).
- 13. Malomoshchnyje rientgienovskije trubki (sovriemiennoje sostojanije) / A. S. Bugajev, P. A. Jeroshkin, V. A. Roman'ko, Je. P. Sheshin // UFN. 2013. T. 183, № 7. S. 727–740. DOI: 10.3367/UFNr.0183.201307c.0727.
- 14. Patent US 2024/0062985 A1, H01J 35/147 (2019.05). X-ray tube with flexible intensity adjustment: N 20240062985A1: filling date 10.08.2023: publ. date 22.02.2024 / Paul Radcliffe, Christian Hoffmann, Kaan Atak, Carsten Michaelsen; applicant incoatec GmbH. 18 p.
- 15. Patent US 11,116,462B2, A61B 6/03(2006.01), A61B 6/00(2006.01). X-ray system and method for generating x-ray image in color :  $N_2$  11116462B2 : filling date 28.08.2018 : publ. date 14.09.2021 / Nabil Mohammed Maalej, Fahad Ahmad Abozaid ; applicant KING FAHD University of petroleum and minerals. 24 p.
- 16. Patent RU 2645749S2, MPK H01J 35/00 (2006.01). Mikrofokusnaja rientgie-novskaja trubka : № 2645749S2 : zajavlieno 23.05.2016 : opubl. 28.02.2018 / Trubicyn A. A., Grachiov Je. Ju. ; zajavitiel' Fiedier. gos. biudzhet. obrazovat. uchriezhdienije vyssh. obrazovanija «Riazanskij gosudarstviennyj radiotiekhnichieskij univiersitiet». 11 s.
- 17. Patent RU 2578675S1, MPK H01J 35/02 (2006.01). Mnogoluchievaja rientgienov-skaja trubka :  $N_2$  2578675S1 : zajavlieno 28.06.2013 : opubl. 27.03.2016 / Masliennikov O. Ju., Guzilov I. A. ; zajavlitel' Diemidova Je. V. 25 s.
- 18. Balukho, I. N. Broadband X-ray source / I. N. Balukho; scientific supervisor N. N. Kolchevsky // I Miezhdunar. molodiozh. nauch.-kul'tur. forum studientov, magistrantov, aspirantov i molodykh uchionykh: sb. matierialov / M-vo obrazovanija Riesp. Bielarus'; Gomiel. gos. tiekhn. un-t im. P. O. Sukhogo; Taizskij un-t; Nauch. organizacija issliedovanij i innovacij; pod obshch. ried. A. A. Bojko. Gomiel': GGTU im. P. O. Sukhogo, 2024. S. 36.
- 19. Ivanov, S. A. Rientgienovskije trubki tiekhnichieskogo naznachienija / S. A. Ivanov, G. A. Shchukin. L.: Eniergoatomizdat, 1989. 200 s.
- 20. Kol'chievskaja, I. N. Modelirovanije rientgienooptichieskikh sistiem / I. N. Kol'chievskaja, P. V. Pietrov, N. N. Kol'chievskij // Kompjuternyje tiekhnolofii i analiz dannykh (CTDA2022): matierialy III Miezhdunar. nauch.-prakt. konf., Minsk, 21–22 apr. 2022 g. / Bielorus. gos. un-t; riedkol.: V. V. Skakun (otv. ried.) [i dr.]. Minsk: RIVSh, 2022. S. 217–219.
- 21. Kol'chievskaja, I. N Mietod cvietovoj vizualizacii rientgienovskikh spiektrov / I. N. Kol'chievskaja, N. N. Kol'chievskij // Prikladnyje probliemy optiki, informatiki, radiofiziki i fiziki kondiensirovannogo sostojanija : matierialy VII Miezhdunar. nauch.-prakt. konf., posviashch. 120-lietiju so dnia rozhdienija akad. Antona Nikiforovicha Sievchienko, Minsk, 18–19 maja 2023 g. / NIU «In-t priklad. fiz. probliem im. A. N. Sievchienko» BGU; riedkol.: Ju. I. Dudchik (gl. ried.), I. M. Cikman, I. N. Kol'chievskaja. 2-ja ried., dop. Minsk, 2023. S. 35–36.
- 22. Balukho, I. N. Colour visualization method of x-ray spectra / I. N. Balukho, Yu. I. Dudchik, N. N. Kolchevsky // Priborostrojenije-2023 : matierialy 16-j Miezhdunar. nauch.-tiekhn. konf., Minsk, 16–17 nojab. 2023 g. / riedkol.: O. K. Gusiev (pried.) [i dr.]. Minsk : BNTU, 2023. S. 187–189.